

لهم اجعلني
من محبتك



دانشگاه صنعتی اصفهان

دانشکده مهندسی مکانیک

طراحی و بهینه‌سازی ساختار مجراهای خنک کن در قطعات الکترونیکی با استفاده از تئوری ساختاری

پایان نامه کارشناسی ارشد مهندسی مکانیک تبدیل انرژی

دلیر منبری

استاد راهنما

دکتر محمد رضا سلیم پور



دانشگاه صنعتی اصفهان

دانشکده مهندسی مکانیک

پایان نامه‌ی کارشناسی ارشد رشته‌ی مهندسی مکانیک (تبدیل انرژی)

آقای دلیر منبری

تحت عنوان

طراحی و بهینه‌سازی ساختار مجراهای خنک کن در قطعات الکترونیکی با استفاده از
تئوری ساختاری

در تاریخ ۹۰/۱/۲۱ توسط کمیته‌ی تخصصی زیر مورد بررسی و تصویب نهایی قرار گرفت.

دکتر محمد رضا سلیم پور

۱- استاد راهنمای پایان نامه

دکتر علی اکبر عالم رجبی

۲- استاد مشاور پایان نامه

دکتر احمد صابونچی

۳- استاد داور

دکتر محمود اشرفی زاده

۴- استاد داور

دکتر سعید ضیایی

سرپرست تحصیلات تکمیلی دانشکده

کلیهی حقوق مادی مترتب بر نتایج مطالعات، ابتکارات و نوآوری‌های ناشی از تحقیق موضوع این پایان‌نامه (رساله) متعلق به دانشگاه صنعتی اصفهان است.

سپس مخصوص خداوندی است که تحقیق موجود است و پیش از او چیزی نبوده است، و آخرین موجود است و بعد او چیزی نیست. دیده‌ی بینندگان، از مشاهده‌ی او نتوان است و اندیشه‌ی کویندگان، از وصف او عاجز.

از دو استاد بزرگ زندگیم، پدر و مادر عزیزم که همواره حامیان من و امید نخش زندگی ام بوده‌اند، سپس گذاری می‌کنم و با تمام وجود برستان پر مرثیان بوسه می‌زنم. از برادر و خواهران دلوز و هم‌باغم که همواره با محبت باشان راه گشایم بوده و با گاهی های بی‌دین شان مرا بهین منت خویش ساختند، سپاسگزارم. از استاد ارجمند جناب آقای دکتر محمد رضا سلیمانی که راهنمایی های ارزشمند ایشان نمایند، نخش نجات این تحقیق بوده و همواره مرا از گنجینه‌ی دانش خود ببراند نموده‌اند، نهایت تقدیر و شکر را در ارم.

هچنین برخود از می دانم تازهات و راهنمایی های ارزشمند و گرانبای استاد محترم جناب آقای دکتر علی اکبر حالم رجبی محل شکر و قدردانی را داشت باشم. از جناب آقای دکترا حام صابوچی که زحمت داوری و بازخوانی این پایان‌نامه را قبل فرمودند، نهایت شکر را در ارم. از جناب آقای دکتر محمود اشرفی زاده که با قبول زحمت، داوری و بازخوانی این پایان‌نامه را برعده کر فتد، سپاسگزارم. از یاران صادق و دوستان عزیزم، به ویژه آقایان اقبال قادری، محفوظ رستم زاده، سینا صمدی و شاهنامه‌نیزی، که بودن دکنار آنها تجلی بسیاری از دشواری ها را برای من آسان نمودند، نهایت شکر را در ارم.

دیپان از تمام بچشمی و روودی ۸۷-مکانیک، که در طی این دوره مراد جمع‌صیمی خودشان راه دادند، صیمانه شکر می‌کنم.

دلیر نبری

بهار ۱۳۹۰

تعظیم به:

پردم

اسطوره‌ی صبر و استقامت و سلکیابی، که فرزانه زیستن را به من آموخت

و

مادم

الله‌ی عشق و ایمان و مهربانی، که وجودش مصدق صداقت و پاکیست

فهرست مطالب

<u>صفحه</u>	<u>عنوان</u>
..... هشت	فهرست مطالب
..... یازده	فهرست اشکال
..... چهارده	فهرست جداول
..... شانزده	فهرست علائم
۲.....	فصل اول: مقدمه
۲.....	۱-۱ مقدمه
۳.....	۱-۲ قانون ساختاری و ترمودینامیک
۴.....	۱-۳ پیکربندی‌های جریان در اجسام بیجان
۴.....	۱-۳-۱ جریانهای چرخشی جو و آب و هوا
۶.....	۱-۴ پیکربندی‌های جریان در جانداران
۶.....	۱-۴-۱ پرواز کردن
۷.....	۱-۵ ترمودینامیک سیستمهای غیر تعادلی با پیکربندی
۷.....	۱-۵-۱ خصوصیات
۸.....	۱-۵-۲ بقا با افزایش کارایی
۹.....	۱-۵-۳ بقا با افزایش ظرافت(فسردگی)
۹.....	۱-۵-۴ بقا با افزایش قلمرو جریان
۱۰.....	۱-۶ ایجاد انشعاب برای هدایت گرما
۱۰.....	۱-۶-۱ معماری‌های جریان چندمنظوره
۱۲.....	۱-۶-۲ ایجاد فضاهای جدید برای لایه‌مرزی
۱۴.....	۱-۶-۳ ایجاد انشعاب برای جریان سیال

۱۴	۷-۱ مروی بر کارهای گذشته
۱۶	۸-۱ معرفی پژوهش حاضر
۱۷	فصل دوم: معادلات حاکم
۱۷	۱-۲ مقدمه
۱۸	۲-۲ طراحی ساختارهای درختی کانالها در یک قطعه‌ی الکترونیکی حلقوی
۱۸	۳-۲ بهینه کردن پارامترهای هندسی شبکه‌بندی درختی جهت مینیمم کردن مقاومت افت فشار
۱۹	۱-۳-۲ بررسی حالت شعاعی
۱۹	۲-۳-۲ تحلیل ساختار درختی با یک انشعباب
۲۳	۳-۳-۲ افزایش پیچیدگی در ساختار دندریتی شعاعی
۲۳	۴-۳-۲ انشعبابات نزدیک محیط
۲۵	۵-۳-۲ دو انشعباب یا بیشتر از دو انشعباب
۲۷	۴-۴ بهینه سازی مقاومت جریان بر اساس مینیمم کردن طول کانال‌ها در یک دیسک حلقوی
۳۰	۵-۵ بهینه سازی بر اساس زاویه‌ی بهینه
۳۰	۶-۲ بهینه کردن پارامترهای هندسی شبکه‌بندی درختی جهت مینیمم کردن مقاومت حرارتی
۳۰	۱-۶-۲ بررسی حالت شعاعی جهت مینیمم کردن مقاومت حرارتی
۳۲	۲-۶-۲ بررسی و تحلیل ساختار درختی با یک انشعباب جهت مینیمم کردن مقاومت حرارتی
۳۴	فصل سوم: نتایج حاصل از مینیمم کردن مقاومت جریان
۳۴	۱-۳ مقدمه
۳۴	۲-۳ نتایج هندسی اپتیم شده ساختار درختی جهت مینیمم کردن مقاومت جریان
۳۵	۱-۲-۳ ساختار درختی یک انشعبابی
۳۸	۲-۲-۳ ساختار درختی دو انشعبابی
۴۱	۳-۳ نتایج هندسی اپتیم شده ساختار درختی جهت مینیمم کردن مقاومت حرارتی
۴۱	۱-۳-۳ بررسی ساختار درختی یک انشعبابی

۴۶	۳-۴ اعتبار سنجی نتایج پژوهش حاضر
۴۷	فصل چهارم: نتایج مربوط به مینیمم مقاومت حرارتی
۴۷	۱-۴ مقدمه
۴۷	۱-۱-۴ تولید شبکه
۴۸	۲-۱-۴ شرایط مرزی
۴۸	۳-۱-۴ بررسی استقلال شبکه
۴۹	۴-۲ نتایج حل عددی و تحلیلی مقاومت حرارتی بر اساس مینیمم کردن مقاومت جریان
۴۹	۱-۲-۴ بررسی مقاومت حرارتی ساختار درختی شعاعی، بر اساس مینیمم کردن مقاومت جریان
۶۳	۲-۲-۴ بررسی مقاومت حرارتی ساختار درختی شعاعی، بر اساس مینیمم کردن مقاومت حرارتی
۶۶	۳-۲-۴ مقایسه‌ی نتایج حل عددی و حل تحلیلی مقاومت حرارتی
۷۴	فصل پنجم: نتیجه‌گیری کلی
۷۴	نتیجه‌گیری
۷۵	پیشنهادات
۷۷	منابع و مراجع
۸۰	پیوست الف

فهرست اشکال

صفحه

عنوان

۳	شکل ۱-۱: معماری دندریتی درختی برگرفته شده از قانون ساختاری [۶]
۵	شکل ۲-۱: مدل زمین (سفینه‌ی فضایی) با مناطق استوایی (جمع کننده گرما) (A_H) و مناطق قطبی (A_L) [۷ و ۸]
۶	شکل ۱-۳: اتلاف توزیع شده غذا یا اگزرسی سوخت در مدت پرواز [۶]
۷	شکل ۴-۱: تغییرات کارایی با درجه آزادی برای تغییر پیکربندی، در اندازه خارجی کلی ثابت [۹ و ۱۰]
۸	شکل ۱-۵: ناحیه کارایی نسبت به درجه آزادی در جریانهایی که مرکز را به N نقطه متساوی الفاصله روی محیط دایره متصل میکند [۶]
۹	شکل ۱-۶: تغییرات کارایی با درجه آزادی برای تغییر پیکربندی، در اندازه داخلی کلی ثابت [۹ و ۱۰]
۱۱	شکل ۷-۱: تکامل معماری جریان سیستم نسبت به روند تغییرات مقاومت حرارتی و مقاومت جریان [۶]
۱۲	شکل ۸-۱: ساختار دندریتی مبدل حرارتی با جریان مختلف الجهت [۱۵]
۱۳	شکل ۹-۱: ساختار بهینه‌ی صفحات موازی در جریان جابجایی اجباری [۶]
۱۴	شکل ۱۰-۱: ساختار چند مقیاسه‌ی صفحات موازی [۱۸]
۱۹	شکل ۱-۲: ویژگیهای ساختاری شبکه‌بندی درختی جریان
۲۰	شکل ۲-۲: ساختار شبکه‌بندی درختی با یک انشعاب
۲۳	شکل ۳-۲: المان سطحی نزدیک محیط زمانیکه $R >> d$
۲۶	شکل ۴-۲: ساختار بهینه شده برای دو انشعاب با $n_0 = 4$
۲۸	شکل ۵-۲: المان مستطیلی ناشی از فصل مشترک خطوط شعاعی و دوایر متحده مرکز ساختار درختی بهینه شده بر اساس طول مینیمم [۳۳]
۳۰	شکل ۲-۲: ساختار درختی میان مرکز و محیط (a) بر پایه‌ی بهینه‌سازی خصوصیات هندسی (b) بر اساس مینیمم کردن طول کانال‌ها [۳۳]
۳۱	شکل ۷-۲: ساختار شعاعی مسیرهای جریان
۳۳	شکل ۸-۲: ساختار یک انشعابی مسیرهای جریان
۴۴	شکل ۱-۳: روند تغییر مقاومت جریان در ساختار درختی یک انشعابی با افزایش تعداد کانال‌ها روی محیط خارجی دیسک کامل برای دو حالت: (۱) مینیمم کردن مقاومت جریان. (۲) مینیمم کردن مقاومت حرارتی
۴۵	شکل ۲-۳: مقایسه‌ی روند تغییرات مقاومت جریان بدست آمده بر اساس مینیمم کردن افت فشار در مقابل افزایش تعداد کانال‌ها روی محیط خارجی دیسک حلقوی، در ساختارهای شعاعی، یک انشعابی و بالاتر، به ازای شعاع داخلی بی بعد برابر با $0/2$
۴۸	شکل ۱-۴: شبکه‌بندی سطح دیسک
۵۰	شکل ۲-۴: مقایسه‌ی اختلاف دمای ماکریم بی بعد نسبت به نرخ دبی بی بعد شده، در ساختار درختی شعاعی به ازای شعاع داخلی بی بعد n_0 و n_2 مخلتف

- شکل ۴-۳: مقایسه‌ی اختلاف دمای ماکزیمم بی بعد نسبت به نرخ دبی بی بعد شده، در ساختار درختی یک انشعابی به ازای شاعع داخلی بی بعد $n_0/2$ و $n_0^{\hat{r}}$ های مختلف ۵۰
- شکل ۴-۴: مقایسه‌ی اختلاف دمای ماکزیمم بی بعد نسبت به نرخ دبی بی بعد شده، در ساختار درختی دو انشعابی به ازای شاعع داخلی بی بعد $n_0/2$ و $n_0^{\hat{r}}$ های مختلف ۵۱
- شکل ۴-۵: مقایسه‌ی اختلاف دمای ماکزیمم بی بعد نسبت به نرخ دبی بی بعد شده، در ساختار درختی شعاعی به ازای شاعع‌های داخلی بی بعد $n_0/1, n_0/2, n_0/3$ با $n_0 = 6$ ۵۲
- شکل ۴-۶: مقایسه‌ی اختلاف دمای ماکزیمم بی بعد نسبت به نرخ دبی بی بعد شده، در ساختار درختی یک انشعابی به ازای شاعع‌های داخلی بی بعد $n_0/1, n_0/2, n_0/3$ با $n_0 = 6$ ۵۲
- شکل ۴-۷: مقایسه‌ی اختلاف دمای ماکزیمم بی بعد نسبت به نرخ دبی بی بعد شده، در ساختار درختی دو انشعابی به ازای شاعع‌های داخلی بی بعد $n_0/1, n_0/2, n_0/3$ با $n_0 = 6$ ۵۳
- شکل ۸-۴: کانتور اختلاف دمای بی بعد، به ازای $3 = n_0$ و $M = \hat{r}_0 = 0.1$ برای ساختار درختی یک انشعابی ۵۴
- شکل ۹-۴: کانتور اختلاف دمای بی بعد، به ازای $3 = n_0$ و $M = \hat{r}_0 = 0.1$ برای ساختار درختی یک انشعابی ۵۵
- شکل ۱۰-۴: کانتور اختلاف دمای بی بعد، به ازای $3 = n_0$ و $M = 100 = \hat{r}_0 = 0.1$ برای ساختار درختی یک انشعابی ۵۵
- شکل ۱۱-۴: مقایسه‌ی ساختارهای شعاعی، یک انشعابی و دو انشعابی از لحاظ اختلاف دمای ماکزیمم بی بعد حاصل از دو روش تحلیلی و عددی، نسبت به نرخ دبی بی بعد شده، برای حالت $n_0 = 3$ و $\hat{r}_0 = 0.2$ ۵۶
- شکل ۱۲-۴: مقایسه‌ی ساختارهای شعاعی، یک انشعابی و دو انشعابی از لحاظ اختلاف دمای ماکزیمم بی بعد حاصل از دو روش تحلیلی و عددی، نسبت به نرخ دبی بی بعد شده، برای حالت $n_0 = 6$ و $\hat{r}_0 = 0.2$ ۵۷
- شکل ۱۳-۴: مقایسه‌ی ساختارهای شعاعی، یک انشعابی و دو انشعابی از لحاظ اختلاف دمای ماکزیمم بی بعد حاصل از دو روش تحلیلی و عددی، نسبت به نرخ دبی بی بعد شده، برای حالت $n_0 = 12$ و $\hat{r}_0 = 0.2$ ۵۷
- شکل ۱۴-۴: مقایسه‌ی روند تغیرات اختلاف دمای ماکزیمم بی بعد بدست آمده از دو روش تحلیلی و عددی نسبت به تغیرات نرخ توان پمپاژ بی بعد، در ساختار درختی شعاعی به ازای شاعع داخلی بی بعد $n_0/2$ و $n_0^{\hat{r}}$ های مختلف ۵۹
- شکل ۱۵-۴: مقایسه‌ی روند تغیرات اختلاف دمای ماکزیمم بی بعد بدست آمده از دو روش تحلیلی و عددی نسبت به تغیرات نرخ توان پمپاژ بی بعد، در ساختار درختی یک انشعابی به ازای شاعع‌های داخلی بی بعد $n_0/2$ و $n_0^{\hat{r}}$ های مختلف ۵۹
- شکل ۱۶-۴: مقایسه‌ی روند تغیرات اختلاف دمای ماکزیمم بی بعد بدست آمده از دو روش تحلیلی و عددی نسبت به تغیرات نرخ توان پمپاژ بی بعد، در ساختار درختی دو انشعابی به ازای شاعع داخلی بی بعد $n_0/2$ و $n_0^{\hat{r}}$ های مختلف ۶۰
- شکل ۱۷-۴: مقایسه‌ی روند تغیرات اختلاف دمای ماکزیمم بی بعد بدست آمده از دو روش تحلیلی و عددی نسبت به تغیرات نرخ توان پمپاژ بی بعد، در ساختار درختی انشعابی به ازای شاعع داخلی بی بعد $n_0 = 6$ و $n_0^{\hat{r}}$ های مختلف ۶۱
- شکل ۱۸-۴: مقایسه‌ی روند تغیرات اختلاف دمای ماکزیمم بی بعد بدست آمده از دو روش تحلیلی و عددی نسبت به تغیرات نرخ توان پمپاژ بی بعد، در ساختار درختی یک انشعابی به ازای $n_0 = 6$ و $n_0^{\hat{r}}$ های مختلف ۶۲
- شکل ۱۹-۴: مقایسه‌ی روند تغیرات اختلاف دمای ماکزیمم بی بعد بدست آمده از دو روش تحلیلی و عددی نسبت به تغیرات نرخ توان پمپاژ بی بعد، در ساختار درختی دو انشعابی به ازای $n_0 = 6$ و $n_0^{\hat{r}}$ های مختلف ۶۲

- شکل ۲۰-۴: مقایسه اختلاف دمای ماکریم بی بعد نسبت به نرخ دبی بی بعد شده، در ساختار درختی یک انشعابی به ازای شاعع داخلى بی بعد $n_0/2$ و n_0^* های مختلف ۶۳
- شکل ۲۱-۴: مقایسه اختلاف دمای ماکریم بی بعد نسبت به نرخ دبی بی بعد شده، در ساختار درختی یک انشعابی به ازای شاعع های داخلى بی بعد $n_0/2, n_0/1, n_0/0$ با $n_0 = 6$ ۶۴
- شکل ۲۲-۴: تغییرات اختلاف دمای ماکریم بی بعد بدست آمده از دو روش تحلیلی و عددی نسبت به تغییرات نرخ توان پمپاژ بی بعد، در ساختار درختی یک انشعابی به ازای شاعع داخلى بی بعد $n_0/2$ و n_0^* های مختلف ۶۵
- شکل ۲۳-۴: تغییرات اختلاف دمای ماکریم بی بعد بدست آمده از دو روش تحلیلی و عددی نسبت به تغییرات نرخ توان پمپاژ بی بعد، در ساختار درختی یک انشعابی به ازای $n_0 = 6$ و n_0^* های مختلف ۶۵
- شکل ۲۴-۴: مقایسه اختلاف دمای بی بعد با دبی بی بعد سیال از دو روش تحلیلی و عددی برای ساختارهای شاععی، یک انشعابی و دو انشعابی، به ازای $n_0 = 3$ و $n_0^* = 0.2$ ۶۶
- شکل ۲۵-۴: مقایسه اختلاف دمای بی بعد با دبی بی بعد سیال از دو روش تحلیلی و عددی برای ساختارهای شاععی، یک انشعابی و دو انشعابی، به ازای $n_0 = 6$ و $n_0^* = 0.2$ ۶۷
- شکل ۲۶-۴: مقایسه اختلاف دمای بی بعد با دبی بی بعد سیال از دو روش تحلیلی و عددی برای ساختارهای شاععی، یک انشعابی و دو انشعابی، به ازای $n_0 = 12$ و $n_0^* = 0.2$ ۶۷
- شکل ۲۷-۴: مقایسه تغییرات اختلاف دمای ماکریم بی بعد با توان پمپاژ حاصل از دو روش تحلیلی و عددی برای ساختارهای شاععی، یک انشعابی و دو انشعابی، به ازای $n_0 = 3$ و $n_0^* = 0.2$ ۶۹
- شکل ۲۸-۴: مقایسه تغییرات اختلاف دمای ماکریم بی بعد با توان پمپاژ حاصل از دو روش تحلیلی و عددی برای ساختارهای شاععی، یک انشعابی و دو انشعابی، به ازای $n_0 = 6$ و $n_0^* = 0.2$ ۶۹
- شکل ۲۹-۴: مقایسه تغییرات اختلاف دمای ماکریم بی بعد با توان پمپاژ حاصل از دو روش تحلیلی و عددی برای ساختارهای شاععی، یک انشعابی و دو انشعابی، به ازای $n_0 = 12$ و $n_0^* = 0.2$ ۷۰
- شکل ۳۰-۴: تغییرات افت فشار بی بعد نسبت به افزایش تعداد کانال روی محیط برای ساختارهای شاععی ۷۱
- شکل ۳۱-۴: تغییرات افت فشار بی بعد نسبت به افزایش تعداد کانال روی محیط برای ساختارهای درختی یک انشعابی بهینه شده برا ساس مینیمم کردن مقاومت جریان ۷۱
- شکل ۳۲-۴: تغییرات افت فشار بی بعد نسبت به افزایش تعداد کانال روی محیط برای ساختارهای درختی یک انشعابی بهینه شده برا ساس مینیمم کردن مقاومت حرارتی ۷۲
- شکل ۳۳-۴: تغییرات افت فشار بی بعد نسبت به افزایش تعداد کانال روی محیط برای ساختارهای درختی دو انشعابی بهینه شده برا ساس مینیمم کردن مقاومت جریان ۷۲
- شکل ۳۴-۴: مقایسه تغییرات افت فشار بی بعد نسبت به افزایش تعداد کانال روی محیط برای ساختارهای شاععی، یک انشعابی و دو انشعابی، به ازای شاعع داخلى بی بعد $n_0/2$ ۷۳

فهرست جداول

صفحه

عنوان

- جدول ۱-۱: چگونگی تعادل جریان با مقاومت بالادر مقابل جریان با مقاومت پایین، در نوع وسیعی از سیستم های جریان [۶] ۱۰
- جدول ۱-۲: مقادیر افت فشار کمینه و نتایج هندسی اپیتم شده برای ساختار یک انشعابی به ازای $n_0 = \hat{r}_0$ و n_0 های مختلف ۳۶
- جدول ۲-۱: مقادیر افت فشار کمینه و نتایج هندسی اپیتم شده برای ساختار یک انشعابی به ازای $n_0 = \hat{r}_0$ و n_0 های مختلف ۳۶
- جدول ۳-۱: مقادیر افت فشار کمینه و نتایج هندسی اپیتم شده برای ساختار یک انشعابی به ازای $n_0 = \hat{r}_0$ و n_0 های مختلف ۳۷
- جدول ۴-۱: مقادیر افت فشار کمینه و نتایج هندسی اپیتم شده برای ساختار یک انشعابی به ازای $n_0 = \hat{r}_0$ و n_0 های مختلف ۳۷
- جدول ۵-۱: مقادیر افت فشار کمینه و نتایج هندسی اپیتم شده برای ساختار دو انشعابی به ازای $n_0 = \hat{r}_0$ و n_0 های مختلف ۳۹
- جدول ۶-۱: مقادیر افت فشار کمینه و نتایج هندسی اپیتم شده برای ساختار دو انشعابی به ازای $n_0 = \hat{r}_0$ و n_0 های مختلف ۳۹
- جدول ۷-۱: مقادیر افت فشار کمینه و نتایج هندسی اپیتم شده برای ساختار دو انشعابی به ازای $n_0 = \hat{r}_0$ و n_0 های مختلف ۴۰
- جدول ۸-۱: مقادیر افت فشار کمینه و نتایج هندسی اپیتم شده برای ساختار دو انشعابی به ازای $n_0 = \hat{r}_0$ و n_0 های مختلف ۴۰
- جدول ۹: مقادیر معیار افت فشار (f) و نتایج هندسی اپیتم شده برای ساختار یک انشعابی در راستای مینیمم کردن مقاومت حرارتی به ازای $n_0 = \hat{r}_0$ و n_0 های مختلف ۴۲
- جدول ۱۰-۱: مقادیر معیار افت فشار (f) و نتایج هندسی اپیتم شده برای ساختار یک انشعابی در راستای مینیمم کردن مقاومت حرارتی به ازای $n_0 = \hat{r}_0$ و n_0 های مختلف ۴۲
- جدول ۱۱-۱: مقادیر معیار افت فشار (f) افت فشار و نتایج هندسی اپیتم شده برای ساختار یک انشعابی در راستای مینیمم کردن مقاومت حرارتی به ازای $n_0 = \hat{r}_0$ و n_0 های مختلف ۴۳
- جدول ۱۲-۱: مقادیر معیار افت فشار (f) و نتایج هندسی اپیتم شده برای ساختار یک انشعابی در راستای مینیمم کردن مقاومت حرارتی به ازای $n_0 = \hat{r}_0$ و n_0 های مختلف ۴۳
- جدول ۱۳-۱: مقایسه مقادیر افت فشار و نتایج هندسی بدست آمده در این پژوهش و مرجع [۲۲]، برای ساختار درختی پنج انشعابی جهت مینیمم کردن مقاومت جریان ۴۶
- جدول ۱-۴: مقایسه اختلاف دمای ماکریم بی بعد شده، حاصل از شبکه های مختلف برای ساختار درختی یک انشعابی به ازای $n_0 = 6$ ۴۹
- جدول الف-۱: مقادیر افت فشار کمینه و نتایج هندسی اپیتم شده برای ساختار سه انشعابی به ازای $n_0 = \hat{r}_0$ و n_0 های مختلف ۸۰
- جدول الف-۲: مقادیر افت فشار کمینه و نتایج هندسی اپیتم شده برای ساختار سه انشعابی به ازای $n_0 = \hat{r}_0$ و n_0 های مختلف ۸۱
- جدول الف-۳: مقادیر افت فشار کمینه و نتایج هندسی اپیتم شده برای ساختار سه انشعابی به ازای $n_0 = \hat{r}_0$ و n_0 های مختلف ۸۱
- جدول الف-۴: مقادیر افت فشار کمینه و نتایج هندسی اپیتم شده برای ساختار سه انشعابی به ازای $n_0 = \hat{r}_0$ و n_0 های مختلف ۸۲

- جدول الف-۵: مقادیر افت فشار کمینه و نتایج هندسی اپتیمم شده برای ساختار چهار انشعابی به ازای $\hat{r}_0 = 0.0$ و n_0 های مختلف.....8۳
- جدول الف-۶: مقادیر افت فشار کمینه و نتایج هندسی اپتیمم شده برای ساختار چهار انشعابی به ازای $\hat{r}_0 = 0.1$ و n_0 های مختلف.....8۴
- جدول الف-۷: مقادیر افت فشار کمینه و نتایج هندسی اپتیمم شده برای ساختار چهار انشعابی به ازای $\hat{r}_0 = 0.2$ و n_0 های مختلف.....8۵
- جدول الف-۸: مقادیر افت فشار کمینه و نتایج هندسی اپتیمم شده برای ساختار سه انشعابی به ازای $\hat{r}_0 = 0.3$ و n_0 های مختلف.....8۶
- جدول الف-۹: مقادیر افت فشار کمینه و نتایج هندسی اپتیمم شده برای ساختار پنج انشعابی به ازای $\hat{r}_0 = 0.0$ و n_0 های مختلف.....8۷
- جدول الف-۱۰: مقادیر افت فشار کمینه و نتایج هندسی اپتیمم شده برای ساختار پنج انشعابی به ازای $\hat{r}_0 = 0.1$ و n_0 های مختلف.....8۸
- جدول الف-۱۱: مقادیر افت فشار کمینه و نتایج هندسی اپتیمم شده برای ساختار پنج انشعابی به ازای $\hat{r}_0 = 0.2$ و n_0 های مختلف.....8۹
- جدول الف-۱۲: مقادیر افت فشار کمینه و نتایج هندسی اپتیمم شده برای ساختار پنج انشعابی به ازای $\hat{r}_0 = 0.3$ و n_0 های مختلف.....9۰

فهرست علائم

عنوان

مساحت سطح گرم

نام

A_H

مساحت سطح سرد

A_L

مساحت

A

معیار افت فشار محلی

C_i

ظرفیت گرمایی ویژه

c_p

فاصله‌ی بین دو منفذ روی محیط

d, d_0

قطر کانال‌ها

D_i

معیار مقاومت جریان

F

معیار افت فشار

g

معیار افت فشار

h

ارتفاع

H

ضریب افت فشار محلی

k, k_i

ضریب انتقال حرارت هدایتی دیسک

k

ضریب هدایتی سیال

k_f

طول کanal

L, L_i

نرخ دبی جرمی بی‌بعد

M

نرخ دبی جرمی

\dot{m}

نرخ دبی سیال بر واحد سطح

\dot{m}''

تعداد کل کانال‌ها

N

تعداد کانال روی محیط

n_p

تعداد کانال‌های مرکزی

n_0

محیط

p

افت فشار بی‌بعد

\hat{P}

شار حرارتی بر حسب وات

q

شار حرارتی بر واحد سطح

q''

شعاع داخلی حلقه

r

شعاع خارجی حلقه

R

ضخامت

t

دمای سیال ورودی

T_0

دمای ماکزیمم

T_m

دمای خروجی سیال

T_f

دمای دیواره‌ی کanal

T_w

دمای سطح گرم

T_H

دمای سطح سرد

T_L

دماي ماکزيم بم بعده	\tilde{T}_m
سرعت سيال	U
حجم	V
عرض	W
نرخ توان پمپاژ	\dot{W}
نرخ توان پمپاژ بم بعده	\tilde{W}
فاصله‌ی بين انشعبات	x_i
عدد ناسلت	Nu
معيار ظرافت	SV
افت فشار	ΔP
زاویه‌ی بين کانال‌های اصلی	α
زاویه انشعبات	β_i
ضخامت شعاعی	δ
زاویه‌ی بين دو خط شعاعی	θ
دانسيته‌ی سيال	ρ
ويسکوزيته‌ی سينماتيك	ν
متغير لاگرانژ	\emptyset
معيار درجه آزادی	ξ

چکیده

تئوری ساختاری دیدگاهی است که بیان می‌دارد تولید پیکربندی جریان یک پدیده فیزیکی است که می‌تواند بر مبنای یک اصل فیزیکی استوار باشد. تئوری ساختاری می‌گوید: در یک سیستم جریان با ابعاد محدود برای پایداری و بقا در زمان، پیکربندی آن باید چنان تحول یابد که دسترسی آسانتری را برای جریان‌هایی که در آن جاری هستند، فراهم نماید. تئوری ساختاری جهت بررسی هر سیستم، ساختار فیزیکی و هندسی آن را مورد بررسی قرار می‌دهد. امروزه این تئوری به صورت قانون در آمده است طوری که از قوانین اول و دوم ترمودینامیک کاملاً مجزا می‌باشد. ارتباط میان تئوری ساختاری و قوانین بهینه‌سازی ترمودینامیکی، در به حداقل رساندن انتروپی تولیدی در سیستم می‌باشد. امروزه با بکارگیری تئوری ساختاری، طراحی‌های جدیدی برای قطعات الکترونیکی، پل سوتی، شبکه‌های درختی برای انتقال انسان‌ها، کالاها و اطلاعات صورت پذیرفته است. این بررسی یک نمونه‌ی کاربردی کلی و فراگیر در علوم طبیعی، مهندسی و علوم اجتماعی را بیان می‌دارد.

تئوری ساختاری با توجه به نوع کاربرد دارای چیدمان‌ها و شبکه‌بندی‌های مختلفی است. یکی از معروف‌ترین ساختارها، شبکه-بندی درختی بوده که داری دو نوع Y و T شکل می‌باشد. در این پژوهش از تئوری ساختاری برای بررسی و چگونگی پیکربندی هندسی کانال‌های تعییشده در داخل یک دیسک در حضور تولید حرارت داخلی جهت خنک‌کاری توسط مکانیزم انتقال حرارت جابجایی استفاده شده است. در این مطالعه خنک‌کاری توسط یک جریان سیال تکفازی که از قسمت داخلی دیسک وارد شده و به سمت محیط هدایت می‌شود، انجام می‌گیرد. تلاش بر این است که ساختار درختی بهینه‌ای جهت خنک‌کاری قطعات الکترونیکی حلقوی با تولید حرارت داخلی، توسط تئوری ساختاری ارائه شود. برای این منظور ساختار حاصله باید بگونه‌ای باشد که برای یک توان پمپاژ مشخص، حداکثر دمایی که در قطعه‌ی مورد نظر حاصل می‌شود، مینیمم باشد. در این پژوهش علاوه بر بررسی نحوه انشعاب کانال‌ها و طول آنها، به بررسی ابعاد یک کانال مشخص جهت کاهش توان پمپاژ نیز پرداخته شده است. در ادامه علاوه بر حل تحلیلی که دارای تقریبات قابل قبولی است، مسئله بصورت عددی نیز مورد تحلیل و بررسی قرار گرفته شرایط بهینه یا نزدیک به بهینه پیشنهاد شده است.

نتایج عددی حاصل از آنالیز حرارتی در مقایسه با نتایج بدست آمده از روش تحلیلی از دقت بالاتری برخودار هستند. تاثیر شار جرمی جریان بر روی مقاومت کلی جریان ناچیز بوده در حالی که بر روی مقاومت حرارتی بیشترین تاثیر را دارد. افزایش تعداد انشعابات موجب بیشتر شدن مقاومت جریان و کاهش مقدار مقاومت حرارتی شده است. تعداد کانال‌های مرکزی با مقدار مقاومت جریان رابطه‌ی مستقیم و با مقدار مقاومت حرارتی رابطه‌ی عکس دارد. یکی دیگر از عوامل تاثیرگذار بر روی مقاومت جریان، شعاع داخلی دیسک حلقوی بوده طوری که هر چقدر شعاع داخلی حلقه بزرگ‌تر باشد مقدار مقاومت جریان کاهش می‌یابد.

کلمات کلیدی: تئوری ساختاری، ساختار درختی، مقاومت جریان، مقاومت حرارتی، دمای ماکزیمم بی‌بعد، نرخ دبی جرمی بی‌بعد، نرخ توان پمپاژ.

1-1 مقدمه

فصل اول

مقدمه

از قانون ساختاری برای پیش‌بینی و بیان ساختارهای جریان طبیعی و مهندسی استفاده می‌شود [1]. این تئوری به هندسه و نحوه‌ی چیدمان ساختار سیستم توجه دارد طوری که با بهینه‌سازی هندسه و ساختار، عملکرد و بازدهی سیستم را حداکثر می‌کند. بژان¹ به عنوان اولین نفر در سال 1996 به کاربرد تئوری ساختاری² پی برد. تئوری ساختاری کاربردهای مختلفی در زمینه‌ی مهندسی محیط زیست، فیزیک، سیستم‌های مهندسی، مهندسی عمران، شهرسازی، طرح‌های اجتماعی و اقتصادی دارد. این تئوری را می‌توان در طبیعت و محیط اطراف از جمله در پرندگان، جریان اتمسفر و بافت‌های زنده یافت. یکی از الگوهای ساختاری تئوری ساختاری که در طبیعت و مهندسی کاربرد فراوان دارد، شبکه‌بندی درختی است. این شبکه‌بندی دارای دو نوع پیکربندی³ T شکل و Y شکل است [2]. استفاده از ساختار شبکه‌بندی درختی اولین بار برای خنک کردن قطعات الکترونیکی گزارش شد [3] و [4]. در تئوری ساختاری با ثابت نگهداشتن قیود و محدودیت‌هایی که شامل فضا، ماده، اجزاء سیستم، دما، فشار و تنش می‌باشد به بهینه‌سازی هندسه و ساختار برای دست‌یابی به حداکثر بازده و عملکرد سیستم پرداخته می‌شود. از دیگر کاربردهای این تئوری می‌توان به فرایندهای تجزیه، فرایندهای مربوط به تولید انتروپی و ترمودینامیک غیر تعادلی اشاره کرد.

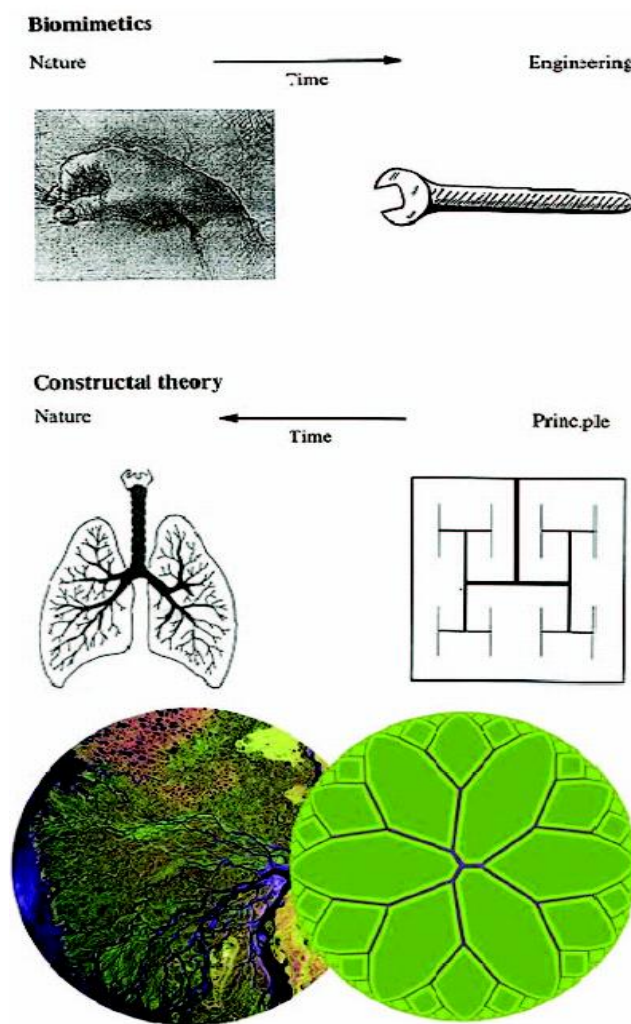
¹ Bejan

² Constructal theory

³ Configuration

2-1 قانون ساختاری و ترمودینامیک

تئوری ساختاری در سال 1996 بعنوان قانون ساختاری تولید پیکربندی جریان، فرمول بندی شد [1] و [5]. قانون ساختاری بیان می‌دارد که برای یک سیستم جریان جهت پایداری و بقا در زمان، سیستم باید چنان رشد و نمو یابد که دسترسی هر چه آسانتری را برای جریان‌هایی که در آن جاری می‌باشد را فراهم نماید. پایه و اساس تئوری ساختاری، تولید پیکربندی جریان در طبیعت می‌باشد، (شکل 1-1). امروزه با کمک تئوری ساختاری پیشرفت جدیدی در علم ترمودینامیک تحت عنوان "ترمودینامیک سیستم‌های غیرتعادلی همراه با پیکربندی" ارائه شده است.



شکل 1-1. معماری دندانه‌ای درختی برگرفته شده از قانون ساختاری [6].

برای اینکه بینیم چرا قانون ساختاری یک قانون ترمودینامیکی (فیزیکی) است، یک سیستم ترمودینامیکی ایزوله را در نظر بگیرید که در ابتدا در حالت عدم تعادل داخلی است. قوانین اول و دوم ترمودینامیک برای مشاهدات دلیل موجه می‌آورند و تمایل پیشرفت واکنش را در زمان توصیف می‌کنند، طوری که اگر زمان کافی بگذرد، سیستم